

徳島大学工業短期大学部

正員 村上 仁士

徳島大学大学院

学生員 野口 英二

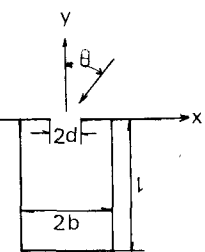
徳島大学大学院

学生員 鈴木 一光

1. まえがき 海岸線に対して、波が直角に入射する場合の湾水振動については、従来、数多くの研究が行われているが、波が入射角度をもつて湾内に侵入する場合の研究は少ない。ここでは、湾奥の振動特性に及ぼす波の入射角度への影響について、理論および実験の両面から検討する。

2. 実験 実験は、幅15m、長さ30m、深さ60cmの平面水槽を用い、図-1に示す港湾モデルについて、 $2b$ を20cm, 50cmの2種類、それぞれの港湾幅について $\beta$ を0.2, 1.0へ変化させた。さらに、これらの港湾について、入射角度 $\theta$ を $0^\circ, 30^\circ, 60^\circ$ へ変化させた。また、実験条件としては、周期 $T=1.94\text{sec}$ 、水深 $h=15\text{cm}$ 、入射波高 $H=2.33 \sim 2.91\text{cm}$ である。なお、波高測定に際してビデオカメラを使用し、VTRで記録再生して読み取りを行った。

3. 理論解 理論解析は、Ippen-Godaの方法と同様に、開口部において、流速が等しく、かつ、斜め重複波と擾乱波による外海側の平均水位と港湾側の平均水位が等しいという条件を用いて次式のような波高増幅率 $R$ に関する解を得た。



港湾モデルの記号の説明

$$R(0, \theta) = \frac{\sin(\theta d \sin \theta) \{1 - S_2\}}{\sqrt{\{ \cos \theta d - (S_1 + b/d K_2) \sin \theta d \}^2 + (b/d K_1 \sin \theta d)^2}} \quad (1)$$

ただし、 $\theta$ は波数

$$S_2 = \frac{4b}{\pi d} \sin \theta d \sum_{n=1}^{\infty} \frac{\sin \frac{n\pi d}{2b} \cos^2 \frac{n\pi}{2}}{n \beta_n \sinh(B_n \theta d)} \quad S_1 = 8 \cdot \left( \frac{b}{\pi d} \right)^2 \sum_{n=1}^{\infty} \frac{(\sin \frac{n\pi d}{2b} \cos \frac{n\pi}{2})^2}{n \beta_n \tanh(B_n \theta d)}$$

$$\beta_n = \sqrt{\left(\frac{n\pi}{2b}\right)^2 - 1} \quad K_1 = \frac{2}{\pi} \theta d \int_0^{\theta d} \frac{\sin^2 \xi}{5^2 / (K_0)^2 - \xi^2} d\xi \quad K_2 = \frac{2}{\pi} \theta d \int_{\theta d}^{\infty} \frac{\sin^2 \xi}{5^2 / (K_0)^2 - (\xi - \theta d)^2} d\xi$$

4. 理論結果および実験結果 表-1は、式(1)から求められる共振時の波高増幅率 $R_R$ 、相対共振湾長 $b/b_d$ を示している。 $R_R$ を注目すると、開口比 $b/b_d$ が小さい場合は、港湾幅 $b$ にかかわらず入射角度 $\theta$ の影響は小さいが、 $b/b_d$ が大きい場合は、港湾幅が広くなるにつれて入射角度の影響が少しあらわれる。一方、 $b/b_d$ は入射角度によらず一定値を取りうることがわかる。しかしながら $R_R$ 、 $b/b_d$ いずれの場合も入射角度による影響は、それほど顕著ではない。その理由として、 $K_0$ 、 $\theta$ が小さい場合は、式(1)中の分子が $\theta = 0^\circ$ の場合、Ippen-Godaの理論解と同じとなり、入射角度に関係しないとなる。ここでは、すべての実験結果を示していないが、理論値と実験値を比較した場合、港湾幅が広い場合は $\theta$ による $R$ への影響が小さく、一方、港湾幅が狭い場合も、 $b/b_d$ が大きいほど $\theta$ による $R$ への影響が小さい。 $\theta = 2^\circ$ 、比較的

表-1 理論解による共振時の性質

$2b$ (cm)	$d/b$	$\theta$	$b/b_d$	$R_R$
20	1.0	$0^\circ$	0.19	3.9623
		$30^\circ$	0.19	3.9499
		$60^\circ$	0.19	3.9251
20	0.2	$0^\circ$	0.13	4.9148
		$30^\circ$	0.13	4.9142
		$60^\circ$	0.13	4.9130
50	1.0	$0^\circ$	0.15	1.8536
		$30^\circ$	0.15	1.8175
		$60^\circ$	0.15	1.7464
50	0.2	$0^\circ$	0.07	3.0009
		$30^\circ$	0.07	2.9985
		$60^\circ$	0.07	2.9985

$\theta$  と  $R$  に及ぼす影響があらわれて、  
いふる  $2b$  が小さく、 $b/d$  が大きい場合  
の振動特性と、 $2b$  が大きく  $b/d$  が小  
さい場合の共振特性を図-1に示す。  
2b が小さい場合、共振時にひいて  
1次モードでは  $30^\circ$ ,  $0^\circ$ ,  $60^\circ$  の順に  
 $R_R$  は小さくなつてくるが、2次モ  
ードでは  $0^\circ$ ,  $30^\circ$  の大小が論じられ  
ない。また、2b が大きい場合は、  
 $R_R$  が  $0^\circ$ ,  $30^\circ$ ,  $60^\circ$  の順に小さくなつ  
てゐるが、いずれのモードも  $60^\circ$  の場合が、 $R_R$  が小さいことがわかつた。ところが、実験値のなかで1次共振点より  
も少し大きい  $30^\circ$  で、日にかかわらず理論結果では得られないような現象がみられ、実験水槽によつものか、その  
他の理由によるものか原因が明らかでない。

図-2は、共振時の波高増幅率  $R_R$  を示していふ。図から、入射角度  $\theta$  の変化によ  
る  $R_R$  は、理論結果では  $0^\circ$ ,  $30^\circ$ ,  $60^\circ$  の順に小さくなつてゐるが、開口比  $b/d$  が小さくな  
るにつれて全体的に  $R_R$  の値は増加するが、その場合、 $R_R$  の値はほぼ同じ値をとつ  
つといふやう *harbor paradox* の現象を呈してゐる。一方、実験値においては  $30^\circ$ ,  $0^\circ$ ,  
 $60^\circ$  の順に小さくなつてゐるが、いずれの場合も、 $b/d$  を小さくすれば  $R_R$  は低下してお  
り、開口部でのエネルギー損失があつるものと考えられる。また、ここの図示しま  
せんが、1次モードおよび2次モードにおける  $R_R$  を比較した結果、いずれの場合  
も  $\theta$  が  $60^\circ$  の場合が、 $R_R$  に及ぼす影響が小さいといふことがわかつてゐる。

図-3は、相対共振長  $L_R/L$  をとつてゐるが、1次モードでは、理論値、実験とも  
入射角度によらず、ほぼ同じ値をとつてゐる。しかしながら、2次モードの実験値  
においては入射角度によつて明らかに  $L_R/L$  の値が異つてゐる。実験精度に若干の問題  
があるとしても、入射角度が  $b/d$  に及ぼす影響があらわれるのは興味あらわしい現象であつ  
る。

ところで、円形湾を対象とした Mei-Petroni の理論では、入射角度  $\theta$  が大きくな  
るにつれて、 $R_R$  は増加していふが、本実験に基づく限り、やや、そのような特性は  
疑問に思われる。

5. むすび 湾奥における共振増幅率は入射角度が大きくなるほど小さくなる。  
しかし、入射角度による影響はそれほど顕著でなく、また、理論と実験値には相違  
があり、とくに開口比  $b/d$  が小さいほど、その傾向は顕著であつたことがわかつた。  
以上のことをより、湾水振動を論じる場合、入射角よりも、開口部のエネルギー損失  
の評価がより重要なと思われる。最後に、本研究にあたり、実験及び資料整理に御  
協力頂いた山田平氏（東京建設）に深謝の意を表する。

#### 参考文献

- 1) Ippen, A.T. and Y. Goda : Wave induced oscillations in harbors, *Hydrodynamics Lab. M.I.T.*, Rep. No. 59 July, 1963.
- 2) Chiang, C. Mei and Richardo. V. Petroni : Waves in a harbor with  
Protruding breakwaters, *Proc. A.S.C.E., Mai, 1973.*

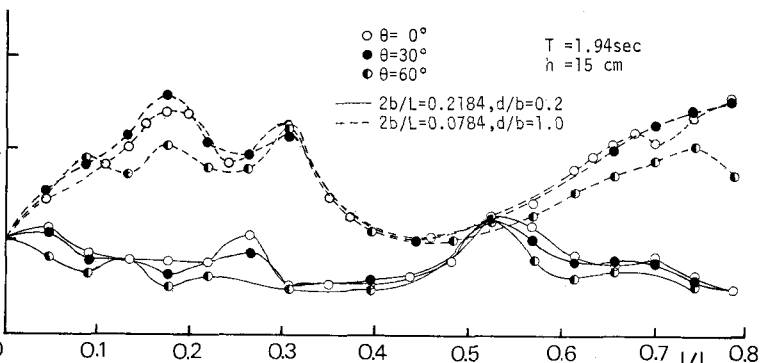


図-1 湾水の振動特性

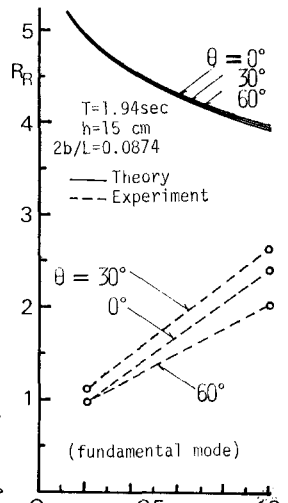


図-2 共振増幅率

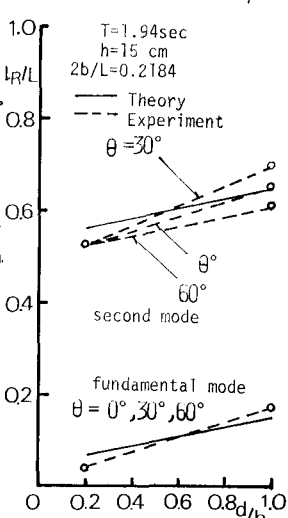


図-3 相対共振長